

# ارزیابی عملکرد لرزه‌یی سازه‌های قاب خمی فولادی جداسازی شده با رویکرد خسارت

مجید قاهکی\* (دانشیار)

حسین بروینی نانی (دانشجوی دکتری)  
دانشکده‌ی مهندسی عمران، دانشگاه سمنان

مهدي بنازاده (دانشیار)

دانشکده‌ی مهندسی عمران و محیط زیست، دانشگاه صنعتی امیرکبیر

مهندسی عمران شریف، (زمستان ۱۳۹۷) دوری ۲ - ۳، شماره ۲/۴، ص. ۳۰-۳۱

در پژوهش حاضر سعی شده است عملکرد سازه‌های قاب خمی فولادی جداسازی شده با استفاده از روش طراحی لرزه‌یی براساس عملکرد و برآورده خسارت ارائه شده در آینه نامه FEMA P-58-۱ ارزیابی شوند. در این راستا، مدل سه بعدی غیرخطی سازه‌ی ۴ طبقه‌ی قاب خمی فولادی با جداساز لرزه‌یی و بدون آن تحت رکوردهای حوزه‌های دور و نزدیک در نرم افزار OpenSees تحلیل و عملکرد آن‌ها از دو دیدگاه فروریزش و خسارت، با نرم افزار PACT بررسی شده است. نتایج تحلیل‌ها نشان می‌دهند که میزان کاهش هزینه تعمیر سازه در صورت استفاده از جداساز تحت اثر زمین‌لرزه‌های حوزه‌ی دور برابر با ۷۲٪ و تحت اثر زمین‌لرزه‌های حوزه‌ی نزدیک برابر با ۶۷٪ است. همچنین تحلیل هزینه سود جهت بررسی امکان‌سنجی اقتصادی انجام و مشاهده شده است که در صورت استفاده از سیستم جداساز مدت زمان بازگشت هزینه در زلزله‌های حوزه‌ی دور ۱۴ سال و برای زلزله‌های حوزه‌ی نزدیک، ۱۸ سال است.

mgholhaki@semnan.ac.ir  
hosseinp@aut.ac.ir  
mbanazadeh@aut.ac.ir

وازگان کلیدی: طراحی لرزه‌یی براساس عملکرد، برآورده خسارت، ارزیابی عملکرد،  
جداساز لرزه‌یی، تحلیل هزینه - سود.

## ۱. مقدمه

جهت توسعه‌ی درک روابط میان مشخصه‌های زمین‌لرزه، روسازه و سیستم جداسازی و نیز ارزیابی توانایی رویکردهای مختلف طراحی و خصوصیات سیستم جداساز، جهت نیل به اهداف عملکردی می‌پردازد. همچنین روش برآورده خسارت لرزه‌یی به ترکیب خطر لرزه‌یی، پاسخ سازه‌یی، خرابی و پیامدهای آن، جهت کمی سازی ریسک لرزه‌یی براساس عملکرد لرزه‌یی ساختمان می‌پردازد.<sup>[۱-۶]</sup>

در سال ۲۰۱۰<sup>[۱]</sup> در بررسی هزینه - سود سازه‌های جداسازی شده، این نتیجه به دست آمد که استفاده از جداساز می‌تواند تا ۲۰٪ موجب کاهش هزینه چرخه‌ی عمر سازه‌ی جداسازی شده شود، ولی در مطالعات مذکور، خدمات و تلفات جانی در روند ارزیابی خسارت لحاظ نشده بود. همچنین در سال ۲۰۱۴<sup>[۷]</sup> چند سازه‌ی بتتی معمولی و جداسازی شده با رویکرد خرابی و هزینه با یکدیگر بررسی و با درنظر گرفتن نیروهای لرزه‌یی متقاوت با استفاده از روش مهندسی زلزله براساس عملکرد با یکدیگر مقایسه شدند و با توجه به نتایج به دست آمده، بر عملکرد مناسب سازه‌های جداسازی شده از لحاظ خرابی نسبت به سازه‌های معمول تأکید شده است.

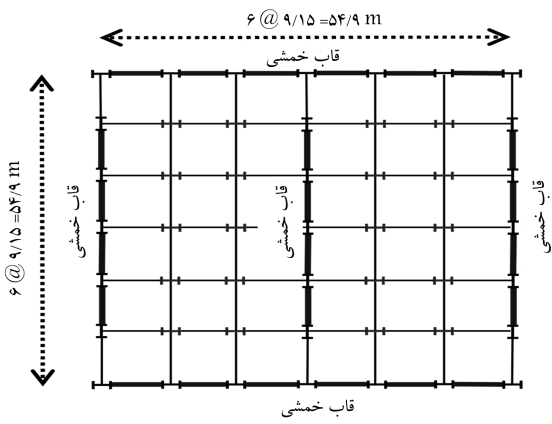
در سال ۲۰۱۵<sup>[۸]</sup> نیز به مقایسه‌ی پاسخ و عملکرد سازه‌های فولادی جداسازی شده با سازه‌های فولادی بدون جداساز پرداخته شده است که فقط برای بررسی بیشینه‌ی زلزله‌ی متحمل (MCE)<sup>[۳]</sup> بوده و با معروفی معیار خرابی به عنوان معیار عملکردی به بررسی حساسیت اعضاء غیرسازه‌یی نسبت به معیار خرابی پرداخته شده است.

زلزله‌ها موجب آسیب‌های جبران‌ناپذیر، خسارت‌های مالی و اختلال در عملکرد سازه‌ها می‌شوند. ثابت شده است که استفاده از جداسازهای لرزه‌یی، روشی مؤثر جهت کاهش تلفات جانی و هزینه‌های مالی ناشی از آسیب هستند.<sup>[۱]</sup> جداسازهای، به شکلی مؤثر و قابل ملاحظه، بسامد سازه را کاهش می‌دهند و در نتیجه‌ی آن، شتاب طبقات کاهش می‌یابد. ساختمان‌های با جداساز تimal به پاسخ همانند جرم صلب را دارند، به طوری که بیشتر تغییرشکل‌ها در لایه‌ی انعطاف‌پذیر جداساز رخ می‌دهد.<sup>[۲]</sup> بنابراین سازه‌های جداسازی شده همانند سایر سازه‌ها می‌توانند دچار تغییرشکل‌های غیرکشسان و آسیب جدی تحت زمین‌لرزه‌های شدید شوند.<sup>[۲]</sup> طراحی لرزه‌یی براساس عملکرد (PBSD)<sup>[۱]</sup> مفهومی است که اجازه‌ی طراحی ساختمان‌ها را با درک واقعی و قابل اطمینان از ریسک حیات، خسارت‌های مالی و جانی در نتیجه‌ی زلزله‌های آینده می‌دهد. مهندسی زلزله براساس عملکرد، تصمیم‌گیری در مورد ریسک لرزه‌یی را از طریق ارزیابی و روش‌های طراحی ارتقاء می‌بخشد و موجب می‌شود که کارفرمایان قادر به اتخاذ تصمیم‌های آگاهانه براساس ریسک لرزه‌یی و خسارت‌های مالی و جانی باشند.<sup>[۵]</sup> PBSD به ارائه‌ی یک چارچوب مقید

\* نویسنده مسئول

تاریخ: دریافت ۲۵/۷/۱۳۹۵، اصلاحیه ۱۴/۱/۱۳۹۶، پذیرش ۱/۲۹/۱۳۹۶.

DOI: 10.24200/J30.2019.1442



شکل ۱. پلان ساختمان مدل سازی شده.

جدول ۱. مقاطع تیرها و ستون‌های قاب‌های خمشی مدل‌ها.

تیرها	ستون‌ها	طبقه	مدل
$W_{73} \times 108$	$W_{14} \times 233$	بام	
$W_{73} \times 130$	$W_{14} \times 370$	۳	<i>SMRF</i>
$W_{73} \times 152$	$W_{14} \times 398$	۲و۱	
$W_{22} \times 102$	$W_{14} \times 233$	بام	
$W_{30} \times 108$	$W_{14} \times 283$	۳	<i>I - IMRF</i>
$W_{73} \times 141$	$W_{14} \times 370$	۲و۱	

جدول ۲. مشخصات تکیه‌گاه‌های سربی - لاستیکی طراحی شده.

مقدار	مشخصات
۸۰	قطر بیرونی (cm)
۱۴	قطر هسته‌ی سربی (cm)
۲۰	ارتفاع کل لایه‌های لاستیکی (cm)
۳۷	تمدداد لایه‌های لاستیکی
۰,۵۴	ضخامت یک لایه لاستیکی (cm)
۰,۴۴	ضخامت یک صفحه فولادی (cm)
۴۲,۲۲	ارتفاع کلی (cm)
۱۲۲	مقاومت مشخصه (kN)
۱۲۸۰	سختی اولیه (kN/m)
۹۸۴	سختی پس از تسلیم (kN/m)
۱۶۰۰	سختی برشی معادل (kN/m)
۲۳/۲	نسبت میرایی معادل (%)

همچنین ساختمان جداسازی شده براساس یک قاب خمشی متوسط (I-IMRF)<sup>۵</sup> با استفاده از اتصال‌های مستقیم تیر به ستون لحاظ شده‌اند. بدین ترتیب ضریب رفتار برای سازه‌ی خمشی، برابر با ۸ و برای سازه‌ی جداسازی شده، برابر با ۲ در نظر گرفته شده‌اند. مقدار تغییرمکان جانبی نسبی طراحی برای سازه‌ی خمشی برابر ۲٪ و برای سازه‌ی جداسازی شده برابر ۱,۵٪ و طراحی ساختمان‌ها براساس کنترل تغییرمکان جانبی نسبی بوده است. مقاطع فولادی طراحی شده برای اعضاء قاب خمشی در جدول ۱ ارائه شده‌اند. جداسازهای لرزه‌یابی از نوع جداسازهای لاستیکی با هسته‌ی سربی<sup>۶</sup>، مطابق با جدول ۲ براساس آئین‌نامه‌ی ASCE۷-۱۰<sup>۷</sup> و مخصوص‌الات مولیدی شرکت بریجستون<sup>۸</sup> طراحی شده‌اند.

همچنین برخی پژوهشگران در همان سال،<sup>۹</sup> اقدام به مطالعه و مقایسه‌ی سازه‌های فولادی جداسازی شده و سازه‌های فولادی متعارف برای دو شتاب‌نگاشت کوبه و الستتروکردن و به این نتیجه رسیدند که استفاده از جداساز، موجب کاهش هزینه‌ی تعییرات برای اعضاء غیرسازه‌ی تا ۴۰٪ نسبت به سازه‌های بدون جداسازی شود. در مطالعه‌ی دیگری (۱۵)<sup>۱۰</sup> نیز با استفاده از تحلیل دینامیکی فراینده برای شتاب‌نگاشت‌های یک منطقه، مقادیر تعییرمکان جانبی نسبی و شتاب طبقات برای قاب‌های دو بعدی محاسبه و درنهایت، خسارت سالانه‌ی محتمل محاسبه شده است. در مطالعه‌ی مشابه نیز در سال ۱۶<sup>۱۱</sup> عملکرد سازه‌های بلند قاب خمشی فولادی براساس خسارت ارزیابی شد. همچنین در همان سال، برخی دیگر از پژوهشگران سازه‌های با جداساز و میراگر ویسکوز (در تراز جداساز) را تحلیل هزینه سود کرده و با استفاده از مهندسی زلزله براساس عملکرد، روشهای برای تخمین خسارت برای این سازه‌ها ارائه دادند.<sup>۱۲</sup>

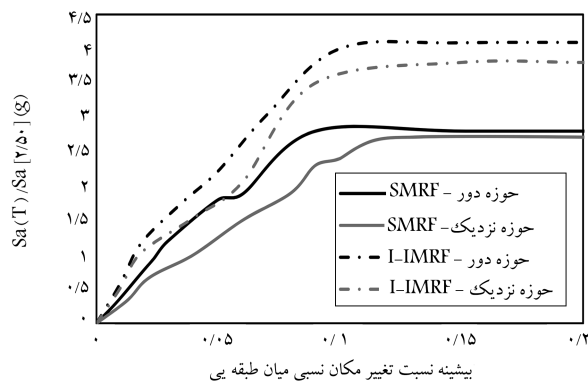
لذا جهت ارزیابی عملکرد مناسب سازه‌های جداسازی شده و بررسی امکان‌سنجی فنی و اقتصادی جداساز در سازه‌ها، باید بررسی شود که آیا هزینه‌ی اولیه‌ی قابل توجه سیستم مذکور در سازه‌ها به وسیله‌ی کاهش خسارت‌های لرزه‌یابی در طول عمر مفید سازه جبران خواهد شد؟ و همچنین آیا تحلیل هزینه - سود، امکان مقایسه و امکان‌سنجی اقتصادی سازه‌های جداسازی شده با سازه‌های بدون جداساز را ممکن می‌سازد؟

به این منظور در مطالعه‌ی حاضر به بررسی مشخصه‌های احتمالاتی عملکرد لرزه‌یابی سازه‌ی فولادی جداسازی شده‌ی غیرکشسان تحت رکوردهای زمین‌لرزه‌ی حوزه‌های دور و نزدیک پرداخته و عملکرد سازه‌ی جداسازی شده با استفاده از روش پرآورد خسارت ارزیابی شده است. در این راستا، یک سازه‌ی ۴ طبقه با کاربری اداری با رفتار غیرخطی همراه با جداساز به صورت سه بعدی مدل‌سازی و عملکرد لرزه‌یابی آن از دیدگاه فروریزش بررسی شده است. همچنین با استفاده از روش پرآورد خسارت، میزان تلفات جانبی و خسارت‌های مالی آن محاسبه و با مقادیر متناظر آن با سازه‌ی بدون جداساز تحت رکوردهای حوزه‌های دور و نزدیک مقایسه شده است. درنهایت، با استفاده از تحلیل هزینه - سود، امکان‌سنجی اقتصادی جداساز بررسی شده است.

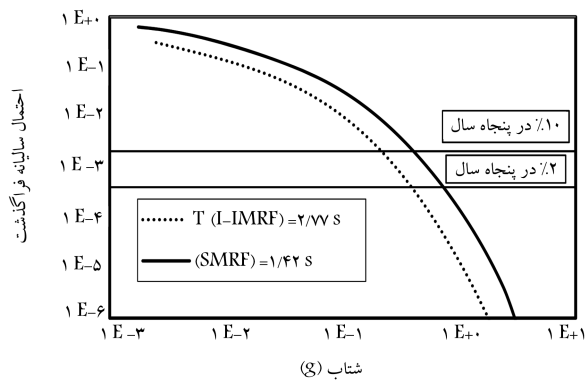
## ۲. طراحی و فرضیات مدل‌سازی

### ۱.۲. فرضیات طراحی

جهت ارزیابی عملکرد، یک ساختمان اداری ۴ طبقه (گروه ریسک لرزه‌یاب III و ضریب اهمیت لرزه‌یاب I = ۱,۲۵) مطابق با آئین‌نامه‌ی ASCE۷-۱۰ انتخاب شده است.<sup>۱۳</sup> ارتفاع طبقه‌ی اولیه مدل مذکور برابر با ۴,۵ متر، ارتفاع تیپ طبقات ۴ متر و فاصله‌ی بین ستون‌ها برابر ۹,۱۵ متر در هر جهت بوده است. مطابق با شکل ۱، سیستم باربر جانبی توسعه دو عدد قاب خمشی پیرامونی ۶ دهانه در جهت X و دو عدد قاب خمشی پیرامونی ۴ دهانه و یک قاب خمشی داخلی ۴ دهانه در جهت Y تأمین شده است. مدل‌های اولیه‌ی سازه‌ی خمشی و سازه‌ی جداسازی شده، با استفاده از نرم افزار ETABS-۲۰<sup>۱۴</sup> براساس آئین‌نامه‌ی AISC۳۶۰-۱۰<sup>۱۵</sup> طراحی شده‌اند. تأثیرات خطر نسیی خیلی زیاد (شتات طیفی برای زمان تناوب یک سازه‌ی برابر با  $S_1 = ۰,۷۲۳\text{ g}$  و برای زمان تناوب کوتاه برابر با  $S_2 = ۲,۱۱\text{ g}$ ) و بر روی زمین سخت (با کلاس خاک D و سرعت موج برشی  $18^{\circ}\text{ تا }36^{\circ}$  متر بر ثانیه) در نظر گرفته شده‌اند. مدل اولیه به صورت قاب خمشی ویژه (SMRF)<sup>۱۶</sup> و



شکل ۳. صدک ۵۰٪ منحنی‌های IDA برای کلیه‌ی مدل‌ها.

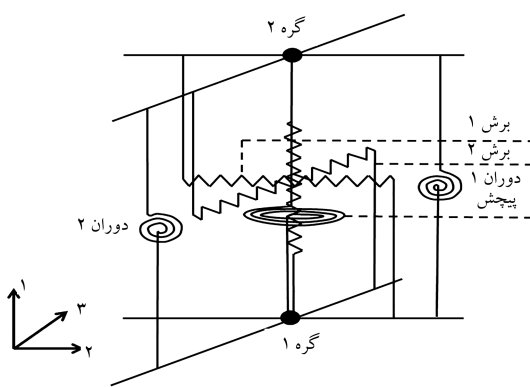


شکل ۴. منحنی‌های خطر برای مدل‌ها (محورها با مقیاس لگاریتمیک).

حوزه‌های دور و نزدیک ارائه شده است که در آن‌ها  $T_{1(s)}$  زمان تناوب مد اول،  $Sa_{collapse}$  شتاب طیفی فروریزش،  $[T_{1(s)}]$  شتاب طیفی با احتمال فراگذشت ۲٪ در ۵۰ سال،  $P[C|Sa_{MCE}]$  احتمال فروریزش در بیشینه‌ی شتاب طیفی منظورشده،  $\lambda_{Collapse}$  احتمال سالیانه‌ی فروریزش که از انتگرال‌گیری منحنی شکنندگی فروریزش همراه با منحنی خطر و پیوسته ساختگاه (شکل ۴) حاصل شود،  $CMR$  نسبت حاشیه‌ی بی فروریزش که به صورت نسبت شتاب طیفی میانه‌ی فروریزش به شتاب طیفی با احتمال فراگذشت ۲٪ در ۵۰ سال تعریف می‌شود و  $RDR_{col}$ ، شاخص‌های مرتبط با شکل پذیری هستند که به ترتیب: معرف نسبت تعییرمکان جانی نسبی با میانگین سالیانه و بیشینه نسبت تغییرمکان جانی نسبی بین طبقه‌ی در فروریزش هستند.

شکل‌های ۵ و ۶ به ترتیب منحنی‌های شکنندگی فروریزش را برای مدل‌ها تحت زمین لرزه‌های حوزه‌های دور و نزدیک نشان می‌دهند، که در آن‌ها محور افقی با  $Sa_{[2,5]}$  هم‌پایه شده است. احتمال فروریزش در بیشینه‌ی شتاب طیفی مورد نظر در محدوده‌ی ۲٪ الی ۱۳٪ درصد متغیر است.

$\lambda_{Collapse}$  مطلوب‌ترین شاخص جهت مقایسه‌ی اینمی فروریزش مدل‌هاست. با مراجعه به شکل ۴ مشاهده می‌شود که میانگین سالیانه‌ی فراوانی فراگذشت برای مدل با جداساز نسبت به مدل بدون جداساز کاهش یافته و در نتیجه کاربرد سیستم جداسازی منجر به  $CMR$  باشید و  $\lambda_{Collapse}$  بالاتر نسبت به سازه‌ی بدون جداساز شده است. همچنین سازه با جداساز در زمین لرزه‌های حوزه‌ی نزدیک، دارد؛ بنابراین اثربخشی جداسازی پایه در زمین لرزه‌های حوزه‌ی نزدیک از نقطه‌نظر فروریزش کاهش می‌یابد.



شکل ۲. مدل ضیزیکی جداسازها در نرم افزار [۲۱].

از نرم افزار OpenSees [۱۷]، جهت مدل‌سازی سازه‌ها استفاده شده است. با وجود تقارن پلان در هر دو جهت، به منظور مدل‌سازی پیچش تصادفی، مرکزهای جرم به اندازه‌ی ۵٪ بعد در پلان در هر دو جهت جایه‌جا شده‌اند. قاب خمشی با استفاده از المان‌های حالت خمیری متumerک به صورت مفصل خمیری در تیرها و ستون‌ها مدل‌سازی [۱۸] و فشرهای دورانی در هر یک از دو انتهای عضو توسط مدل اصلاح شده‌ی ایبارا - مدینا - کارلوینکلر (IMK) [۱۹] تعریف شده‌اند.

روابط تنش - کرنش و لنجک - انحنای فولاد به صورت دو خطی همراه با یک نسبت سخت‌شوندگی کرشی ۳٪ فرض شده‌اند. اتفاق اینزی با استفاده از میرایی متناسب با سختی به گونه‌ی لحظه شده است که میرایی ۲٪ را در نخستین مد سامد مرتبط آن‌ها بدست دهد [۲۰]. جداسازها زیر هر ستون، با استفاده از المان LeadRubberX در نرم افزار OpenSees مدل شده‌اند. این مدل فیزیکی مطابق با شکل ۲ به عنوان یک المان دوگره‌ی با ۱۲ درجه آزادی در نظر گرفته شده است. دوگره مذکور با ۶ فنرکه رفتار مکانیکی را در ۶ جهت اصلی یک تکیه‌گاه به نمایش می‌گذارند، اتصال یافته‌اند [۲۱].

## ۲. انتخاب رکوردها

فرایند ارزیابی عملکرد، نیازمند مجموعه‌ی از رکوردهای زلزله است، که بتوانند جهت تحلیل دینامیکی فراینده‌ی (IDA) ساختمانها به کار آیند [۲۲]. در مطالعه‌ی حاضر، مجموعه‌ی رکوردهای حوزه‌ی دور شامل ۲۲ جفت رکورد (۴۴ مؤلفه‌ی منفرد) و مجموعه‌ی رکوردهای حوزه‌ی نزدیک نیز شامل ۲۸ جفت رکورد (۵۶ مؤلفه‌ی منفرد) بوده است که از پایگاه داده PEER NGA [۲۳] به اساس آینه‌نامه‌ی FEMA P-6۹۵ انتخاب شده‌اند. همچنین  $S_a(T_{1,5})$  به عنوان شتاب طیفی در زمان تناوب مود اول همراه با ۵٪ میرایی برای نمایش شاخص شدت انتخاب شده است.

## ۳. نتایج ارزیابی فروریزش

تحلیل دینامیکی فراینده شامل چند تحلیل تاریخچه‌ی پاسخ برای رکوردهای مشخص با افزایش شدت رکورد تا زمانی است که فروریزش رخ دهد. فروریزش در محاسبات عددی زمانی رخ می‌دهد که ناپایداری عددی یا صاف‌شدگی نمودارهای IDA به وجود آمده و یا نسبت تعییرمکان جانی نسبی میان طبقات از ۱۰٪ بیشتر شود [۲۴]. صدک ۵۰٪ منحنی‌های IDA برای کلیه‌ی مدل‌ها در شکل ۳ نمایش داده شده است که در آن محور قائم با  $Sa_{[2,5]}$  هم‌پایه شده است. در جدول‌های ۳ و ۴ به ترتیب نتایج ارزیابی فروریزش برای زمین لرزه‌های

جدول ۳. نتایج تحلیل دینامیکی فراینده برای مدل‌ها تحت رکوردهای حوزه‌ی دور.

$IDR_{col}$	$RDR_{col}$	$CMR$	$\lambda_{collapse} \times [10^{-4}]$	$P[C Sa_{MCE}]$	$Sa_{2,50}[T_1]$	$[Sa]_{collapse}$	$T_1(s)$	مدل
۰,۰۴۳	۰,۰۴۳	۲,۳۸	۰,۹۴۳	۰,۱۲۵	۰,۷۴۹	۱,۷۸	۱,۴۲	SMRF
۰,۰۳۴	۰,۰۳۲	۴,۱۶	۰,۱۵۷	۰,۰۰۲	۰,۳۹۴	۱,۶۴	۲,۷۷	I-IMRF

جدول ۴. نتایج تحلیل دینامیکی فراینده برای مدل‌ها تحت رکوردهای حوزه‌ی نزدیک.

$IDR_{col}$	$RDR_{col}$	$CMR$	$\lambda_{collapse} \times [10^{-4}]$	$P[C Sa_{MCE}]$	$Sa_{2,50}[T_1]$	$[Sa]_{collapse}$	$T_1(s)$	مدل
۰,۰۶۲	۰,۰۶۱	۲,۲۶	۱,۵۰۷	۰,۱۳۸۰	۰,۷۴۹	۱,۶۹	۱,۴۲	SMRF
۰,۰۴۵	۰,۰۴۴	۳,۶۸	۰,۲۹۶	۰,۰۰۴۹	۰,۳۹۴	۱,۴۵	۲,۷۷	I-IMRF

FEMA P-۵۸-۱<sup>[۲۰]</sup>، جهت ارزیابی تلفات مالی و جانی استفاده شده است. روش PACT، مبتنی بر منحنی‌های شکنندگی جهت تعریف خرابی‌های حاصل از زلزله به اجزاء سازه‌ی و غیرسازه‌ی است. منحنی‌های شکنندگی، توابع توزیع احتمالاتی هستند که با داشتن پارامتر تضاضی مهندسی ( $EDP$ )<sup>[۹]</sup> مانند تغییرمکان جانی نسی، شتاب یا سرعت ایجادشده در هر طبقه توسط زلزله، احتمال فراگذشت یک حالت خرابی خاص را در جزء مرتبط به دست می‌دهند ( $P[DM|EDP]$ ). با داشتن حالت‌های خرابی و بهکارگیری توابع پیامد در شکل توابع توزیع متغیرهای تصمیم ( $DV$ )<sup>[۱۰]</sup>، به عنوان خسارت‌های محتمل مالی و جانی می‌توانند ارزیابی شوند ( $P[DV|DM]$ ) با استفاده از قضیه‌ی کلی احتمال، نخ میانگین وقوع سالیانه‌ی متغیر تصمیم  $\lambda[DV]$  را می‌توان با انگرال‌گیری  $P[DV|DM]$ ،  $P[EDP|IM]$  و  $P[DM|EDP]$  حاصل از تحلیل سازه‌ی و میانگین سالیانه فراگذشت معیار شدت  $\lambda[IM]$  به طور هم‌زمان به دست آورد (رابطه‌ی ۱):<sup>[۲۱]</sup>

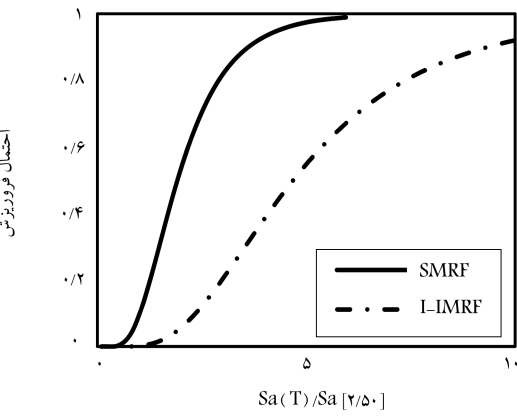
$$[DV] = \iiint P(DV|DM)P(DM|EDP)P(EDP|IM).\lambda(IM).dDM.dEDP.dIM \quad (1)$$

متغیرهای تصمیم در مطالعه‌ی حاضر به صورت خسارت‌های مالی سالیانه موردانتظار ( $EAL$ )<sup>[۱۱]</sup>، تلفات جانی سالیانه موردانتظار ( $EAF$ )<sup>[۱۲]</sup> تعریف شده‌اند. از آنجا که پارامترهای موردانتظار سالیانه، تلفات مالی و جانی را در سطح مختلف شدت و نیز احتمال وقوع آن‌ها را لاحظ می‌کنند، جامع‌ترین شاخص‌ها برای مقایسه‌ی عملکرد سازه‌های مختلف هستند. مقادیر سالیانه میانگین در مطالعات هزینه - سود و برای تعیین مقادیر مالی بیمه در ساختمان‌ها مفید هستند. این مقادیر با انگرال‌گیری نمودار متغیر تصمیم موردانتظار [ $E(DV)$ ] در برآورد شدت، همراه با منحنی خطر ویژه ساختگاه به دست می‌آیند. رابطه‌ی میان  $E(DV)$  به شرط  $IM$ ، با توابع آسیب‌پذیری برقرار می‌شود. باید متذکر شد که کمی سازی شاخص‌های عملکرد دقیق نیست و بتایرا باید از چارچوب احتمالاتی استفاده کرد. مطابق با قضیه‌ی احتمالاتی، خسارت‌های مالی و جانی نهایی را می‌توان از رابطه‌ی ۲ با توجه به دو حالت محتمل، فروریزش ( $C$ ) و عدم فروریزش ( $NC$ ) به دست آورد:

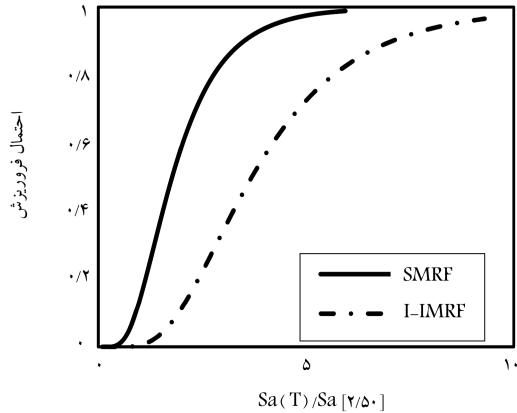
$$E(DV|IM) = E(DV|IM \& NC) \times (1 - P(C|IM)) + E(DV|IM \& C) \times P(C|IM) \quad (2)$$

با بهکارگیری توابع آسیب‌پذیری، مقدار  $EAL$  به صورت رابطه‌ی ۳ محاسبه می‌شود:

$$EAL = \lambda \cdot \iiint E[RC|IM]P[IM|IM \geq im.]dIM \quad (3)$$



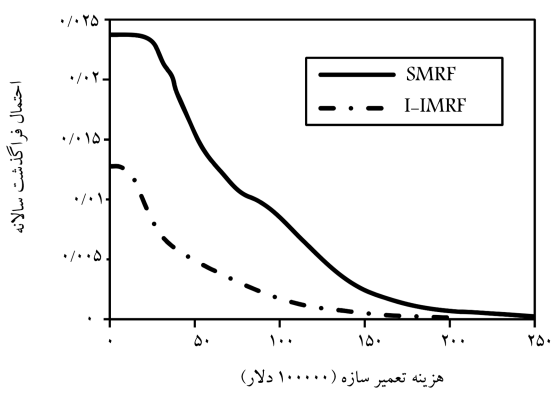
شکل ۵. منحنی‌های شکنندگی فروریزش برای رکوردهای حوزه‌ی دور.



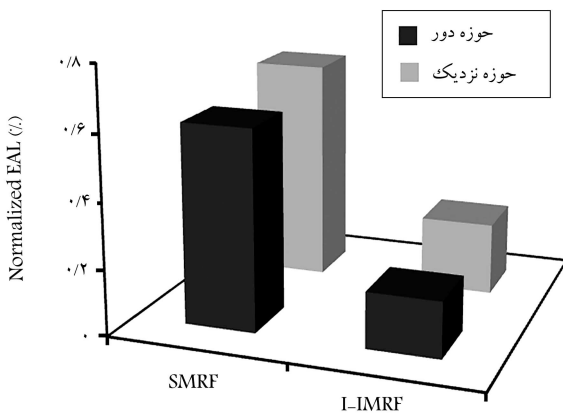
شکل ۶. منحنی‌های شکنندگی فروریزش برای رکوردهای حوزه‌ی نزدیک.

#### ۴. برآورد خسارت حاصل از زلزله

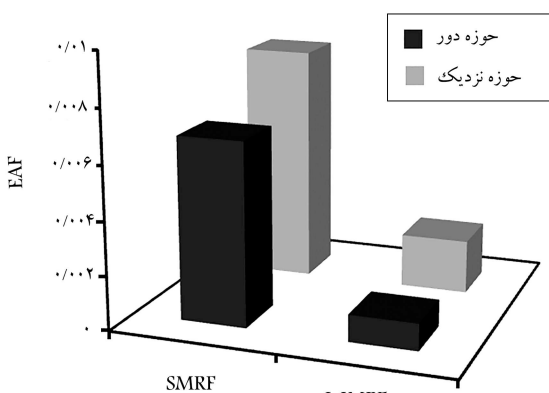
ازیابی فروریزش برای مقایسه‌ی عملکرد لرزه‌ی در سازه‌ها کافی نیست، زیرا تغییرات در شتاب‌ها، سرعت‌ها، تغییرمکان جانی نسبی طبقات، مغایرت در تعداد ساکنان و توزیع آن‌ها، نوع و هزینه‌ی اقلام و اجراء موجود موجب می‌شود که ساختمان‌ها حتی با عملکرد فروریزش یکسان، دچار تلفات در سطح مختلف می‌شوند.<sup>[۲۵]</sup> این ابار محسوسه‌ی ارزیابی عملکرد (PACT)،<sup>[۲۶]</sup> در ارزیابی عملکرد لرزه‌ی و برآورد خسارت ساختمان‌ها کاربرد فراوانی دارد،<sup>[۲۹-۳۰، ۳۵]</sup> و در مطالعه‌ی حاضر از نرم‌افزار PACT (نسخه‌ی ۲) و رویکرد برآورد خسارت PBSD در آینه‌نامه‌ی



شکل ۷. منحنی احتمال فراگذشت سالیانه‌ی هزینه‌ی تعمیر سازه برای رکوردهای حوزه‌ی دور.



شکل ۸. خسارت‌های مالی سالیانه‌ی موردانتظار (EAL) هم‌پایه‌شده، برای مدل‌های تحت زلزله‌های حوزه‌های دور و نزدیک.



شکل ۹. تلفات سالیانه‌ی موردانتظار (EAF) برای مدل‌های تحت زلزله‌های حوزه‌های دور و نزدیک.

ایجاد شده در یک ساختمان در طی یک زلزله در رابطه‌ی مستقیم با  $EDP$  های توسعه یافته در المان‌های سازه‌ی و غیرسازه‌ی هستند. مقادیر تقاضا با استفاده از سیستم جداسازی به شکلی قابل ملاحظه کاهش می‌یابند و در نتیجه، خسارت‌های مالی نیز کاهش می‌یابند. ۲.  $EAL$  عمدتاً متاثر از آسیب المان‌های غیرسازه‌ی در شتاب‌های طیفی پائین همراه با فراوانی فراگذشت بالاست و کمتر تحت تأثیر شتاب‌های طیفی بالا و فروزش ساختمان‌ها قرار می‌گیرد.<sup>[۲۴]</sup> بنابراین، مقادیر

که در آن،  $\lambda$  نزد میانگین سالیانه رویدادها با  $IM \geq im$  است یک رویداد آستانه است که تحت آن  $EAL$  یا  $EAF$  ناچیز در نظر گرفته می‌شوند و در مطالعه‌ی حاضر به صورت ۲٪ شدت فروزش لحاظ شده و  $P[IM|IM \geq im]$  احتمال شرطی وقوع  $IM$  است.<sup>[۲۵]</sup>

#### ۱.۴. فرضیات برآورد خسارت

پیش از انجام برآورد خسارت، برخی فرضیات لازم با توجه به اجزاء قابل آسیب، تعداد و هزینه‌های آن‌ها و توزیع افراد ساکن باید صورت گیرند. در جدول ۵، فهرست مؤلفه‌های قابل آسیب لحاظ شده در مطالعه‌ی حاضر و توابع مرتبط شکنندگی و حالت‌های شکست براساس طبقه‌بندی (NISTIR)<sup>[۲۶]</sup> ارائه شده است. بهمنظور برآورد تعداد محتمل افراد ساکن در زمان وقوع زلزله، از مدل جمعیتی ساختمان‌های اداری موجود در PACT استفاده شده است.

جهت ارزیابی هزینه‌ی جایگزینی هر یک از اجزاء سازه‌ی و غیرسازه‌ی، می‌توان از ابرآ�حاسبه‌ی هزینه‌ی R.S. Square Foot Costs<sup>[۲۷]</sup> استفاده کرد. بر این اساس هزینه‌های جایگزینی کل که شامل هزینه‌ی اجزاء سازه‌ی (طراحی، نظارت و اجرا) و اجزاء غیرسازه‌ی اشاره شده در جدول ۵ است، برای  $SMRF$  و  $I - IMRF$  به ترتیب برابر ۳۰,۸ و ۳۵,۸ میلیون دلار برآورد شده‌اند.

مودهای فروزش راه‌ها و شکل‌های محتمل را که سازه‌ی مستعد فروزش در آن است، نشان می‌دهند.<sup>[۲۸]</sup> در مطالعه‌ی حاضر، ۴ مود فروزش در نظر گرفته شده است: ۱. فروزش کلی در همه‌ی طبقات، ۲. فروزش طبقه‌ی دوم به روی طبقه‌ی اول، ۳. فروزش طبقه‌ی سوم به روی طبقه‌ی دوم، ۴. فروزش طبقه‌ی چهارم به روی طبقه‌ی سوم، در صورتی که مود اول اتفاق بیفتد، بیشینه‌ی خسارت‌های مالی و جانی رخ می‌دهد، در حالی که سایر مودها موجب خسارت‌های مالی و جانی کمتری می‌شوند. احتمال وقوع هر یک از حالت‌های فوق باید براساس قضاوت مهندسی تعیین شود. در ضمن مجموع احتمال وقوع کلیه مودها باید برابر با ۱ باشد. احتمال وقوع مود اول در سازه‌ها نسبت به سایر مودها، که نوعی از خرابی پیش‌رونده هستند، بیشتر است. بدین ترتیب احتمال فروزش مود اول برابر با ۰.۵٪ و سایر مودها برابر با ۰.۱۵٪ فرض شده است.

#### ۵. برآورد خسارت

شکل ۷، منحنی احتمال فراگذشت سالیانه‌ی خسارت‌های مالی (هزینه‌ی تعمیر سازه) مدل‌ها تحت اثر رکوردهای حوزه‌ی دور نمایش می‌دهد، که گویای تأثیر جداسازی در کاهش هزینه‌ی تعمیرات سازه است. خسارت‌های مالی سالیانه‌ی موردانتظار ( $EAL$ ) که با هزینه‌ی جایگزینی کل هم‌پایه شده‌اند، در شکل ۸ و مقادیر تلفات جانی سالیانه‌ی موردانتظار ( $EAF$ ) در شکل ۹ برای مدل‌های تحت اثر رکوردهای حوزه‌ی دور و نزدیک با یکدیگر مقایسه شده‌اند. خسارت‌های مالی سالیانه‌ی موردانتظار ( $EAL$ ) هم‌پایه شده برای مدل‌ها در محدوده‌ی ۰٪ الی ۱۷٪ تغییر می‌کند. بیشینه‌ی مقدار  $EAL$  برای  $SMRF$  در زمین‌لرزه‌های حوزه‌ی نزدیک و مقدار کمینه‌ی برای  $I - IMRF$  در زمین‌لرزه‌های حوزه‌ی دور است. مشاهده می‌شود که به شکلی قابل ملاحظه در صورت استفاده از سیستم جداسازی، کاهش می‌یابد. میزان این کاهش تحت اثر زمین‌لرزه‌های حوزه‌ی دور، برابر با ۷۲٪ و تحت اثر زمین‌لرزه‌های حوزه‌ی نزدیک، برابر با ۶۷٪ است. کاهش مذکور در مقادیر  $EAL$  در نتیجه‌ی ۳ عامل است: ۱. خسارت‌های مالی

جدول ۵. اجزاء قابل آسیب فرض شده و توابع آن.

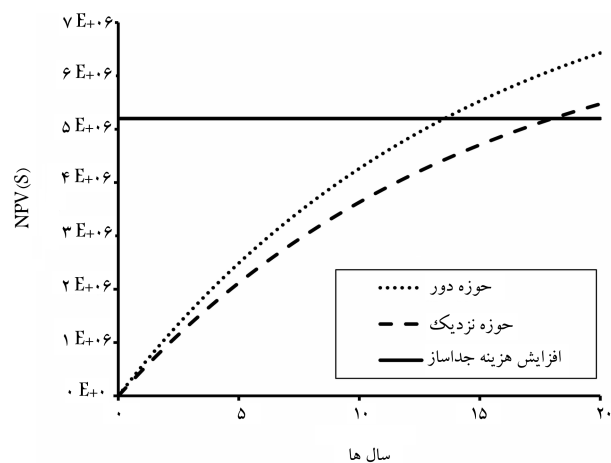
میانگین خرابی (EDP)	حالات خرابی	EDP	نام جزء
%۴	تسليیم شدن پارگی	* IDR	اتصالات مفصلی
%۸			
%۴	ترک اولیه		
%۷	گسترش ترک ها	IDR	ورق پایی ستون
%۱۰	شکست		
%۴	ترک در جوش		
%۷	شکست در جان	IDR	وصله‌ی ستون
%۱۰	شکست کامل		
%۳	کمانش محلی		
%۴	کمانش جانبی	IDR	اتصال‌های خمی
%۵	شکست خستگی		
%۰,۲۵	ترک		
%۰,۵۲	جاداشدگی	IDR	دیوارهای پیرامونی
۲,۵۲	شکست		
%۰,۲۱	ترک کم		
%۰,۷۱	ترک متوسط	IDR	دیوارهای داخلی
%۱,۲	ترک شدید		
%۰,۳۵ g	% خرابی		
%۰,۵۵ g	% خرابی	** PFA	سقف کاذب
%۰,۸ g	فروریزش		
%۰,۴ g	شکست	*** PGA	آسانسور
۲,۲۵ g	سوراخ شدگی		
%۰,۱ g	شکست لوله	PFA	لوله‌کشی آب سرد
%۰,۵۵ g	سوراخ شدگی		
%۰,۱۱ g	شکست لوله	PFA	لوله‌کشی آب گرم
%۰,۱۵ g	شکست نگهدارنده‌ها		
۲,۲۵ g	فروریزش	PFA	داكت
%۰,۱۵ g	غیرقابل استفاده	PFA	چیلر
%۰,۱۵ g	غیرقابل استفاده	PFA	برج خنککن
%۰,۱۷ g	غیرقابل استفاده	PFA	فن
%۰,۱۴ g	غیرقابل استفاده	PFA	رلیانه و سور
%۰,۲۵ m/s	فروریزش	**** PFV	مخزن‌های کتاب
%۰,۵۲ m/s	فروریزش	PFV	کمد و کابینت

\* Interstory Drift Ratio    \*\* Peak Floor Acceleration    \*\*\* Peak Ground Acceleration

\*\*\*\* Peak Floor Velocity

$$NPV = A \times \left( \frac{1 - \frac{1}{(1+i)^t}}{i} \right) \quad (4)$$

که در آن  $A$  کل کاهش در مقادیر خسارت سالیانه،  $t$  زمان در واحد سال و  $i$  نرخ سود است. جهت سهولت در تحلیل هزینه - سود از تلفات جانی سالیانه مورد انتظار ( $EAF$ ) صرف نظر شده است. باید توجه داشت که در مطالعه حاضر، استفاده از سیستم جdasاز موجب افزایش هزینه ها به مقدار  $5/2$  میلیون دلار شده است و با درنظر گرفتن نرخ سود  $7\%$ ، شکل ۱۰ ارزش خالص فعلی ( $NPV$ ) در طی سال ها را نشان می دهد. همان طور که مشاهده می شود، در صورت استفاده از سیستم جdasاز، مدت زمان بازگشت هزینه در زلزله های حوزه نزدیک دور،  $14$  سال و برای زلزله های حوزه نزدیک،  $18$  سال است.



شکل ۱۰. ارزش خالص فعلی ( $NPV$ ) برای سازه های با جdasاز در زلزله های حوزه های دور و نزدیک.

## ۷. نتیجه گیری

مطالعه حاضر به بررسی مشخصه های احتمالاتی عملکرد لرزه بی سازه جdasاز شده غیرکشسان تحت رکوردهای زمین لرزه های حوزه های دور و نزدیک، و همچنین ارزیابی عملکرد سازه جdasاز شده با استفاده از روش برآورد خسارت پرداخته است. روش برآورد خسارت لرزه بی به ترکیب خطر لرزه بی، پاسخ سازه بی، خرابی و پامدهای آن جهت کمی سازی ریسک لرزه بی براساس عملکرد لرزه بی ساختمان پرداخته است. همچنین مزیت استفاده از روش مذکور روشن مؤثر و کارا جهت ارزیابی سازه های جdasاز شده بر حسب برآورد خسارت و تعیین منطقی مقادیر خسارت های مالی و جانی سازه هاست.

نتایج تحلیل ها نشان می دهند که استفاده از جdasاز لرزه بی، احتمال فروریزش در روسازه ها را به طور قابل ملاحظه کاهش می دهد و می تواند در کاهش ریسک لرزه بی اثربخش باشد. مشاهده می شود که در صورت استفاده از سیستم جdasاز،  $EAL$  به شکلی قابل ملاحظه کاهش می یابد. میزان این کاهش تحت اثر زمین لرزه های حوزه دور برابر با  $72\%$  و تحت اثر زمین لرزه های حوزه نزدیک، برابر با  $67\%$  است. علت این امر کاهش مقادیر تقاضا و در نتیجه کاهش آسیب به اعضاء سازه بی و غیرسازه بی و همچنین کاهش خطر لرزه بی در سازه های جdasاز شده است. همچنین اثربخشی جdasاز های لرزه بی در زلزله های حوزه نزدیک نسبت به زلزله های حوزه دور با رویکرد خسارت کاهش می یابد که دلیل آن افزایش پارامتر های تقاضا در رکوردهای ذکر شده و همچنین امکان افزایش شتاب طیفی در زلزله های حوزه نزدیک در زمان تناوب بالا، مقدار  $EAF$  و  $EAL$  در زلزله های حوزه نزدیک افزایش می یابند.

## ۶. تحلیل هزینه - سود

از پارامتر های خسارت، همانند خسارت های مالی سالیانه مورد انتظار ( $EAL$ ) می توان برای مطالعات تحلیل هزینه - سود استفاده کرد. این تحلیل بیانگر توجیه اقتصادی استفاده از سیستم جdasاز با توجه به هزینه ای اولیه قابل توجه سیستم های مذکور است. تحلیل هزینه - سود شامل مقایسه بین ارزش خالص فعلی ( $NPV$ ) هزینه های میانگین سالیانه در برابر هزینه های اولیه سیستم جdasاز است. مشاهده شده است که در صورت استفاده از سیستم جdasاز مدت زمان بازگشت هزینه در زلزله های حوزه دور  $14$  سال و برای زلزله های حوزه نزدیک،  $18$  سال است.

کمتر  $EDP$  در شتاب های طیفی با بیشترین آسیب و تکرار، دلیل اصلی کاهش  $EAL$  در آسیب های ناشی از زلزله هستند. ۳. به علاوه کاهش قابل ملاحظه در میزان خطر زلزله، منع دیگر کاهش  $EAL$  برای مدل  $I - IMRF$  تلفات جانی سالیانه مورد انتظار ( $EAF$ ) تابع عواملی از قبیل: عملکرد فروریزش سازه، کیفیت اجرا، گنجایش ساختمان، و زمان رخ دادن زلزله و توانایی گروه ها و امدادهای اضطراری در پاسخ سریع به رویداد زلزله است. فروریزش سازه ها، منشاء اصلی تلفات جانی است و نیز نخله های حاصل از افتادن بخش های از اجراء سازه بی و غیرسازه بی آسیب دیده می توانند منجر به جراحت های جدی یا حتی مرگ شوند. اما در مطالعه حاضر فرض شده است که تلفات انسانی ناشی از زلزله فقط ناشی از فروریزش سازه بی هستند. مقادیر  $EAF$  نشان داده شده در شکل ۹، اهمیت جdasاز های لرزه بی از نقطه نظر کاهش تلفات جانی به خوبی مشاهده می شود. همچنین در زلزله های حوزه نزدیک، تأثیر عملکردی جdasازها کاهش می یابد، زیرا به دلیل افزایش پارامتر های تقاضا در رکوردهای مذکور و همچنین امکان افزایش شتاب طیفی در زلزله های حوزه نزدیک در زمان تناوب بالا، مقدار  $EAF$  و  $EAL$  در زلزله های حوزه نزدیک افزایش می یابند.

(۲۰) از پارامتر های خسارت های مالی سالیانه مورد انتظار ( $EAL$ ) می توان برای مطالعات تحلیل هزینه - سود استفاده کرد. تحلیل هزینه - سود بیانگر توجیه اقتصادی استفاده از سیستم جdasاز با توجه به هزینه ای اولیه قابل توجه سیستم های مذکور است. تحلیل هزینه - سود شامل مقایسه بین ارزش خالص فعلی ( $NPV$ ) هزینه های میانگین سالیانه در برابر هزینه های اولیه سیستم جdasاز است. ارزش خالص فعلی براساس رابطه  $4$  محاسبه می شود:

## پانوشت ها

1. performance-based seismic design

2. decision-making
3. maximum credible earthquake
4. special moment-resisting frame
5. isolated-intermediate moment-resisting frame

6. lead rubber bearing (LRB)
7. Bridgestone®
8. ibarra-medina-krawinkler
9. engineering demand parameter
10. decision variable
11. expected annual loss
12. expected annual fatalities
13. net present value

## منابع (References)

1. Morgan, T.A. and Mahin, S.A. "The use of base isolation systems to achieve complex seismic performance objectives", Report No. 2011/06, Pacific Earthquake Engineering Research Center, California (2011).
2. Das, S., Gur, S., Mishra, S.K. and et al. "Optimal performance of base isolated building considering limitation on excessive isolator displacement", *Struct. Infrastruct. Eng.*, **11**(7), pp. 904-917 (2015).
3. Naeim, F. and Kelly, J.M., *Design of Seismic Isolated Structures: from Theory to Practice*, John Wiley and Sons, California (1999).
4. Goda, K., Lee, C.S. and Hong, H.P. "Lifecycle cost-benefit analysis of isolated buildings", *Struct Saf.*, **32**(1), pp. 52-63 (2010).
5. FEMA. "Seismic Performance Assessment of Buildings, volume 1-methodology", FEMA P-58-1, Washington, D.C. (2012).
6. Krawinkler, H., Zareian, F., Medina, R.A. and et al. "Decision support for conceptual performance-based design", *Earthquake Eng. Struct. Dyn.*, **35**(1), pp. 115-133 (2006).
7. Williams, R.J., Gardoni, P. and Bracci, J.M. "Decision analysis for seismic retrofit of structures", *Struct. Saf.*, **31**(2), pp. 188-196 (2009).
8. Lashgari, M. "Comparative study of base-isolated and fixed-base buildings using a damage/cost approach", Doctoral Dissertation, College of Engineering at the University of Nebraska, United States (2014).
9. Chimamphant, S. and Kasai, K. "Comparative response and performance of base-isolated and fixed-base structures", *Earthquake Eng. Struct. Dyn.*, **45**(1), pp. 5-27 (2015).
10. Romano, F., Faggella, M., Gigliotti, R. and et al. "Components fragility functions and comparative seismic risk analysis of an older R/C building based on FEMA P-58", XVI Convegno ANIDIS Ingegneria Sismica in Italia, L'Aquila, Italy (Sept. 13-17, 2015).
11. Dong, Y. and Frangopol, D. "Performance-based seismic assessment of conventional and base-isolated steel buildings including environmental impact and resilience", *Earthquake Eng. Struct. Dyn.*, **45**(5), pp. 739-756 (2016).
12. Hutt, C.M., Almufti, I., Willford, M. and et al. "Seismic loss and downtime assessment of existing tall steel-framed buildings and strategies for increased resilience", *J. Struct. Eng.*, **142**(8), 12 p. (2016).
13. Banazadeh, M., Gholhaki, M. and Parvini Sani, H. "Cost-benefit analysis of seismic-isolated structures with viscous damper based on loss estimation", *Structure Infrastructure Engineering*, pp.1-11, DOI:10.1080/15732479.2016.1236131 (2016).
14. ASCE (American Society of Civil Engineering), "Minimum design loads for buildings and other structures", ASCE/SEI 7-10, Reston, Virginia, (2010).
15. ETABS 2015, "Analysis reference manual, computers and structures Inc.", Berkeley (CA, USA) (2015).
16. AISC (American Institute of Steel Construction), "Specification for structural steel buildings", ANSI/AISC 360-10, Chicago, IL (2010).
17. OpenSees (Open System for Earthquake Engineering Simulation), Pacific Earthquake Engineering Research Center, University of California, Berkeley (Available from: <http://opensees.berkeley.edu>) (2015).
18. Kazantzi, A.K., Vamvatsikos, D. and Lignos, D.G. "Seismic performance of a steel moment-resisting frame subject to strength and ductility uncertainty", *Eng. Struct.*, **78**, pp. 69-77 (2014).
19. Lignos, D.G. and Krawinkler, H. "Deterioration modeling of steel components in support of collapse prediction of steel moment frames under earthquake loading", *J. Struct. Eng.*, **137**(11), pp. 1291-1302 (2010).
20. Sayani, P.J., Erduran, E. and Ryan, K.L. "Comparative response assessment of minimally compliant low-rise base-isolated and conventional steel moment-resisting frame buildings", *J. Struct. Eng.*, **137**(10), pp. 1118-1131 (2010).
21. Kumar, M., Whittaker, A.S. and Constantinou, M.C. "An advanced numerical model of elastomeric seismic isolation bearings", *Earthquake Eng. Struct. Dyn.*, **43**(13), pp. 1955-1974 (2014).
22. Vamvatsikos, D. and Cornell, C.A. "Incremental dynamic analysis", *Earthquake Eng. Struct. Dyn.*, **31**(3), pp. 491-514 (2002).
23. FEMA (Federal Emergency Management Agency), "Quantification of building seismic performance factors", FEMA P695, Washington, DC (2009).
24. Baker, J.W. "Probabilistic structural response assessment using vector-valued intensity measures", *Earthquake Eng. Struct. Dyn.*, **36**(13), pp. 1861-1883 (2007).
25. Shokrabadi, M., Banazadeh, M., Shokrabadi, M. and et al. "Assessment of seismic risks in code conforming reinforced concrete frames", *Eng. Struct.*, **98**, pp. 14-28 (2015).
26. PACT (Performance Assesment Calculation Tool), Applied Tachnology Council, Redwood City, California (2012).
27. Banazadeh, M., Parvini Sani, H. and et al. "Decision-Making analysis for seismic retrofit based on risk management", *Asian J. Civil Eng.*, **14**(5), pp. 735-746 (2013).
28. Erberik, M.A. and Elnashai, A.S. "Loss estimation analysis of flat-slab structures", *Nat. Hazards Rev.*, **7**(1), pp. 26-37 (2006).

29. Parvini Sani, H., Gholhaki, M. and Banazadeh, M. "Seismic performance assessment of isolated low-rise steel structures based on loss estimation", *Journal of Performance of Constructed Facilities*, **31**(4):04017028, DOI: 10.1061/(ASCE)CF.1943-5509.0001028 (2017).
30. FEMA (Federal Emergency Management Agency), "Seismic performance assessment of buildings, volume 1-methodology", FEMA P-58-1, Washington, DC (2012).
31. Bozorgnia, Y. and Bertero, V.V. "Earthquake engineering: from engineering seismology to performance-based engineering", CRC press, Boca Raton (2004).
32. Charette, R.P. and Marshall, H.E. "UNIFORMAT II elemental classification for building specifications, cost es-
- timating, and cost analysis", Report No.6389, National Institute of Standards and Technology, Gaithersburg, Maryland (1999).
33. Dyanati, M., Huang, Q. and Roke, D. "Life cycle cost-benefit evaluation of self-centering and conventional concentrically braced frames", *12th Int. Conf. Applications of Statistics and Probability in Civil Eng.*, Vancouver, Canada, Paper No:424 (July 12-15, 2015).
34. Mitrani-Reiser, J. "An ounce of prevention: probabilistic loss estimation for performance-based earthquake engineering", Doctoral Dissertation, California Institute of Technology, United States (2007).